



مقاله پژوهشی

بررسی اثرات ضدرگزایی نانومولسیون سنتز شده از انسانس گیاه شوید

هاله سادات توکل افشاری^۱، مسعود همایونی تبریزی^۱، توران اردلان^۲

۱. گروه زیست شناسی، دانشکده علوم، واحد مشهد، دانشگاه آزاد اسلامی، مشهد، ایران.

۲. گروه شیمی، دانشکده علوم، واحد مشهد، دانشگاه آزاد اسلامی، مشهد، ایران.

جیکبید

اطلاعات مقاله:

تاریخ دریافت: ۱۷ بهمن ۱۳۹۸

تاریخ پذیرش: ۲ شهریور ۱۳۹۹

تاریخ انتشار: ۱۲ فروردین ۱۴۰۰

زمینه و هدف آنژیوژن، به فرایند تشکیل عروق خونی جدید از عروق پیشین گفته می‌شود که نقش مهمی در شرایط فیزیولوژیک، از جمله رشد و نمو، ترمیم زخم و تولید مثل بر عهده دارد. همچنین این فرایند در پدیده‌های پاتولوژیکی و بروز بیماری‌های مختلف، به خصوص رشد تومور و متاستاز نقش حیاتی دارد. در پژوهش حاضر، اثرات ضدرگزایی نانومولسیون سنتز شده از انسانس گیاه شوید با استفاده از روش CAM ارزیابی شد.

مواد و روش‌ها به منظور بررسی اثرات ضدرگزایی در روز دوم انکوباسیون، روی تخمرنگ‌ها پنجه باز شد و در روز هشتم یک اسفنج ژلاتینی به همراه نانومولسیون شوید با ذرهای مختلف (۱۲/۵، ۲۵ و ۵۰ میکرومتر مبرمیلی لیتر) روی پرده کوریوآلتوئیک قرار داده شد. در روز دوازدهم انکوباسیون از استرئومیکروسکوپ تحقیقاتی به منظور ارزیابی میزان رگزایی و تصویربرداری از ناحیه تیمار استفاده شد. فاکتورهای عروقی با نرمافزار ImageJ بررسی شد.

ملاحظات اخلاقی تمامی آزمایش‌های این تحقیق با رعایت موارف اخلاقی و طبق تأیید کمیته اخلاق در پژوهش دانشگاه آزاد اسلامی واحد مشهد انجام گرفت (کد: I.R.IAU.MSHD.REC.1398.027).

یافته‌ها نتایج بررسی اثر نانومولسیون بر میزان رگزایی در تست CAM، نشانگر کاهش طول و تعداد رگ‌های پرده کوریوآلتوئیک در نمونه‌های تیمار شده در مقایسه با تیمار شده است. همچنین کاهش قد و وزن جنین‌های تیمار شده در مقایسه با تیمار شده در این بررسی نشان داده شد ($P < 0.05$).

نتیجه‌گیری فعالیت ضدرگزایی نانومولسیون شوید نشان دهنده کاربرد احتمالی این ماده برای بیماری‌هایی همچون سرطان است که مهار تشکیل رگ‌های خونی در آن‌ها مورد نظر است؛ بنابراین نانومولسیون شوید می‌تواند به عنوان یک ماده برای مطالعات بیشتر در زمینه سرطان پیشنهاد شود.

کلیدواژه‌ها:

آنژیوژن، پرده

کوریوآلتوئیک،

نانومولسیون انسانس

شوید

مقدمه

آنژیوژن فیزیولوژیک، فرایندی است به شدت تنظیم شده که در مواردی مانند ترمیم زخم، سیکل‌های قاعدگی، رشد جفت، لانه‌گزینی جنین و تخمک‌گذاری اتفاق می‌افتد، در حالی که آنژیوژن پاتوفیزیولوژیک به تکثیر غیرقابل کنترل اندوتلیوم مویرگی اشاره دارد که از جمله مثال‌های این گروه می‌توان آترواسکلروز، انdomتریوز و رتینوپاتی دیابتی را نام برد [۱].

ازوپیگی‌های اصلی سلول‌های سرطانی می‌توان به مقاومت در برابر مرگ‌سلولی، عدم حساسیت به سیگناال‌های متوقف کننده‌رددسلول و رگزایی اشاره کرد [۲، ۳].

از آنجا که آنژیوژن در متاستاز تومورهای سرطانی دارای نقش

آنژیوژن به فرایند بیولوژیکی تشکیل رگ‌های جدید از رگ‌های موجود در بافت اطلاق می‌شود. اگر تعادل بین فاکتورهای القاکننده و مهارکننده رگزایی دچار اختلال شود، زمینه برای بروز بیماری‌ها، از جمله رشد و متاستاز سلول‌های سرطانی فراهم خواهد شد. امروزه بسیاری از دانشمندان از ترکیبات گیاهی به عنوان مهارکننده‌های آنژیوژن به عنوان راهکار ضد توموری استفاده می‌کنند. پدیده آنژیوژن برای اندامزایی، تکثیر و تمايز سلولی در دوره جنینی لازم است که می‌توان آن را به دو دسته فیزیولوژی و پاتولوژی تقسیم‌بندی کرد.

* نویسنده مسئول:

دکتر مسعود همایونی تبریزی

نشانی: مشهد، دانشگاه آزاد اسلامی، واحد مشهد، دانشکده علوم، گروه زیست شناسی.

تلفن: +۹۸ (۰۱۳) ۸۴۳۵۰۰۰

پست الکترونیکی: mhomayouni6@gmail.com

در این بررسی از نانومولسیون تهیه شده از اسانس گیاه شوید، به منظور دسترسی زیستی به اسانس شوید استفاده شد و اثرات این نانومولسیون بر میزان رگ‌زایی با استفاده از روش CAM ارزیابی شد.

مواد و روش‌ها

تهیه نانومولسیون

در تهیه نانومولسیون گیاه شوید، از توئین ۲۰ و توئین ۸۰ به عنوان امولسیون فایر، اتیلن گلیکول به عنوان حلال کمکی و آب مقطر استفاده شد. نانومولسیون در حضور اموج ماءه صوت با قدرت ۲۰۰ وات و به مدت ۶۰ دقیقه تهیه شد [۱۲]. این نانومولسیون دارای اندازه ۳۱/۱ نانومتر است و مورفوژی آن به شکل تقریباً کروی گزارش شده است.

بررسی رگ‌زایی

به منظور بررسی فعالیت آنتیبیوتیک از تست CAM استفاده شد. در این بررسی پنجاه عدد تخم مرغ نطفه دار از نژاد ROSS از شرکت مرغداران توس مشهد، تهیه و پس از انجام ضدعفونی به ماشین جوجه‌کشی با دمای ۳۷ درجه سانتی‌گراد و رطوبت ۶۵ درصد منتقل شدند. پس از ۴۸ ساعت انکوباسیون در زیر هود لامینار، در سر پنهان هر تخم مرغ پنجره و در انتهای هر نمونه کیسه‌هایی به شکل یک نقطه ایجاد شد. در ادامه، این پنجره‌ها با استفاده از چسب زخم و پارافین استریل بسته شده و دوباره تخم مرغ‌ها به انکوباتور انتقال یافتند.

نمونه‌ها در پنج گروه ده‌تایی شامل دو گروه کنترل و کنترل آزمایشگاهی و سه گروه آزمایش شامل غلاظت‌های مختلف نانومولسیون (۱۲/۵، ۲۵ و ۵۰ میکروگرم / میلی‌لیتر) تقسیم شدند. در روز هشتم انکوباسیون، اسفنج ژلاتینی به منظور فراهم کردن بستر تیمار نانومولسیون ساخته و روی غشاء کوریوآلانتوئیک قرار داده شد. برای تهیه این اسفنج آلبومین سفیده تخمرغ و محلول آگار (تهیه شده با نرمال سالین) هم دما شده و سپس با هم ترکیب می‌شوند.

در ادامه به آن، آنتی‌بیوتیک اضافه می‌شود. سپس محلول حاصل به پتری‌دیش منتقل شده و به منظور ایجاد یک لایه ژلاتینی در یخچال نگهداری می‌شود. در زمان استفاده هر قطعه با ابعاد ۴×۴×۱ میلی‌متر روی پرده کوریوآلانتوئیک قرار می‌گیرد.

گروه آزمایش در شرایط طبیعی نگهداری و به اسفنج ژلاتینی روی پرده کوریوآلانتوئیک توسط میکروپیپت میزان ده میکرولیتر آب مقطر استریل اضافه شد، گروه آزمایش آزمایشگاهی با ده میکرولیتر ترکیب نرمال سالین تیمار شد و در ادامه ده میکرولیتر از غلاظت‌های مختلف (۱۲/۵، ۲۵ و ۵۰ میکروگرم بر میلی‌لیتر) نانومولسیون شوید روی اسفنج اضافه

مهمی است، می‌تواند هدف درمان‌های ضدتوموری قرار گیرد [۴]. در حالت سلامت آنتیبیوتیک به وسیله تعادل بین فاکتورهای آنتیبیوتیک و آنتی‌آنتیبیوتیک تنظیم می‌شود. زمانی که مقدار فاکتورهای رشد آنتیبیوتیک بیشتر از مهارکننده‌های آنتیبیوتیک باشد، تعادل به سمت رشد رگ‌های جدید جایه‌جا می‌شود [۵].

پرده کوریوآلانتوئیک جنین جوجه (CAM) یک پرده شفاف همراه با عروق خونی زیاد است که به واسطه ترکیب لایه‌های مزودرمی آلانتوئیس و کوریون تشکیل می‌شود [۶]. ترکیب ماتریکس خارج سلولی و درجه تمایز سلول‌های اندوتیال و عروقی، از جمله ویژگی‌های CAM هستند که باعث شده از آن به عنوان الگویی برای مطالعات آنتیبیوتیک استفاده کنند [۷].

نانومولسیون شبیه به میکرو امولسیون است که قطر ذرات آن‌ها در مقیاس نانومتر بوده و به همین دلیل به آن نانومولسیون می‌گویند [۸]. یک نانومولسیون معمولی حاوی روغن، آب و امولسیفایر (سورفاکтанت) است [۹].

سنن نانومولسیون‌ها به روش‌های مختلف قابل انجام است که عموماً به دو دسته اصلی تقسیم می‌شوند که شامل امولسیون‌سازی با انرژی بالا و امولسیون‌سازی با انرژی پایین [۱۰] است.

مهم‌ترین ویژگی نانومولسیون‌ها، اندازه کوچک آن‌ها است که سبب افزایش نفوذ یا جذب آن‌ها توسط سلول‌ها می‌شود. اخیراً استفاده از نانومولسیون‌ها برای مصارف درمان و دارو مورد توجه قرار گرفته است.

بررسی‌ها نشان داده که کپسوله کردن و امولسیفیکاسیون روغن‌های گیاهی به دلیل اثرات ضدسرطان این ترکیبات می‌تواند سبب استفاده وسیع از آن‌ها در زمینه مهار سلول‌های سرطانی شود. تا کنون نیز مطالعاتی در زمینه استفاده از روغن‌های گیاهی در درمان برخی سرطان‌ها، از جمله سرطان سینه و کبد انجام شده است [۱۱].

گیاه دارویی شوید یکی از بهترین گیاهان دارویی قابل تغذیه است که به عنوان یک داروی جانی در جهان استفاده می‌شود. شوید با نام علمی (Anethum graveolens L) جزء خانواده عجفری یا چتریان، گیاهی یکساله و دارای برگ‌های پر به رنگ سبز روش شناخته می‌شود. جنس آن دارای سه گونه شناخته شده به نام‌های گراویولاتس، کریزیوم و اینولوکراتوم است که مهم‌ترین گونه آن شوید معمولی یا همان گراویولاتس است که عمدها در هندوستان کشت می‌شود.

آنتریوم گراویولاتس (شوید) حاوی موادی همچون عصاره اسنیال، روغن چرب، رطوبت ۸/۳۹ درصد، پروتئین ۱۵/۶۸ درصد، کربوهیدرات ۳۶ درصد، فیبر ۱۴/۸ درصد، اش ۹/۸ درصد و فوران و کومارین، ا نوع پلی‌فنول و مواد معدنی همچون کلسیم، پتاسیم، منیزیم، فسفر، سدیم و ویتامین A است [۱۲].

استفاده از نرمافزار آماری بررسی شد. بررسی قد در جنین‌های تیمارشده در مقایسه با کنترل (تصویر شماره ۲) نشان می‌دهد که اختلاف معناداری بین کنترل و کنترل آزمایشگاهی و همچنین بین گروه کنترل و نمونه تیمارشده با غلظت ۱۲/۵ میکروگرم بر میلی لیتر وجود ندارد، اما با افزایش غلظت به ۲۵ و ۵۰ میکروگرم بر میلی لیتر سطح معناداری $P < 0.05^*$ و $P < 0.01^{**}$ وجود دارد.

در ارزیابی وزن جنین‌ها (تصویر شماره ۳) نیز هیچ تفاوت معناداری بین گروه‌های کنترل و کنترل آزمایشگاهی وجود ندارد. همچنین بین گروه کنترل و نمونه تیمارشده با غلظت ۱۲/۵ میکروگرم بر میلی لیتر نیز تفاوت معناداری وجود ندارد، اما با افزایش غلظت به ۲۵ و ۵۰ میکروگرم بر میلی لیتر تفاوت در سطح معناداری $P < 0.05^*$ مشاهده می‌شود.

نتایج حاصل از ارزیابی میزان رگ‌زایی نشان می‌دهد که در هیچ یک از فاکتورها بین گروه‌های کنترل و کنترل آزمایشگاهی تفاوت معنادار نیست، ولی با تیمار نمونه‌ها با نانومولسیون طول و تعداد رگ‌ها کاهش یافته و این کاهش میزان رگ‌زایی رشد جنین (وزن و قد) را نیز تحت تأثیر قرار می‌دهد.

بررسی طول رگ‌های خونی

ارزیابی طول عروق خونی در گروه‌های مختلف نشان می‌دهد که طول عروق خونی در نمونه‌های شاهد نسبت به کنترل آزمایشگاهی اختلاف معناداری وجود ندارد، اما طول عروق خونی در نمونه‌های تیمارشده با غلظت‌های ۱۲/۵، ۲۵ و ۵۰ میکروگرم

شد. پس از تیمار نمونه‌ها، پنجره تخمرغ‌ها با استفاده از چسب و پارافین مجدداً بسته شد و نمونه‌ها به دستگاه جوجه‌کشی منتقل شدند. در روز دوازدهم، نمونه‌ها از ماشین جوجه‌کشی خارج و پنجره‌ها باز شدند. توسط استرئومیکروسکوپ از نمونه‌ها در محدوده اسفنج عکس‌برداری صورت گرفت.

تصاویر با استفاده از نرمافزار Image ابرای ارزیابی طول و تعداد رگ‌های ارزیابی شدند. قد و وزن جنین‌های نیز به ترتیب به کمک کولیس (واحد آن میلی‌متر است) و ترازو (واحد آن گرم است) اندازه‌گیری شد. نتایج حاصل با استفاده از نرمافزار SPSS و آزمون تجزیه و تحلیل واریانس یک‌طرفه و آزمون LSD تحلیل شدند.

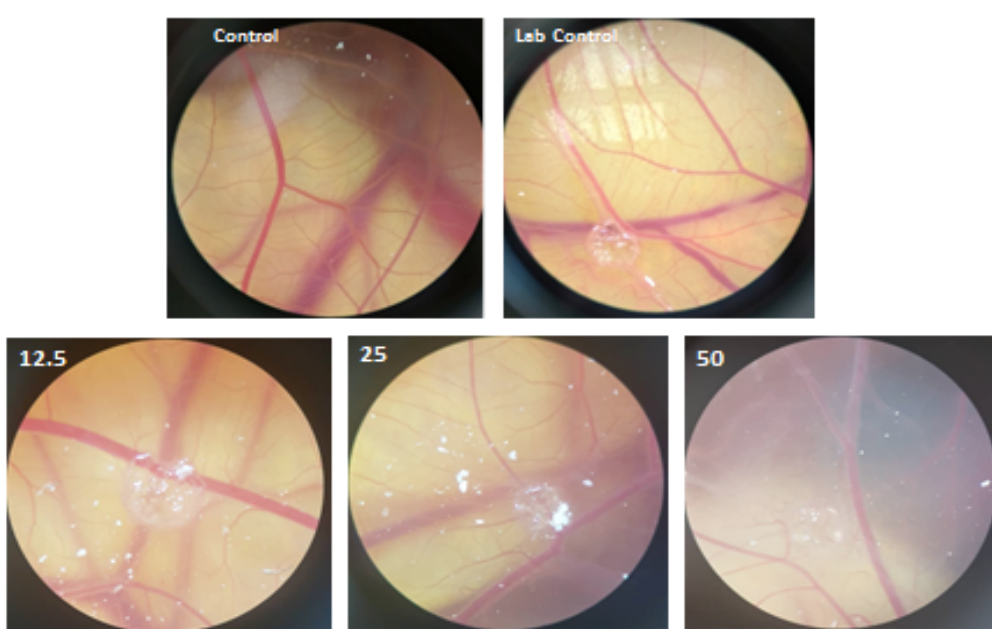
یافته‌ها

بررسی تغییرات مورفولوژیک آنژیوژن

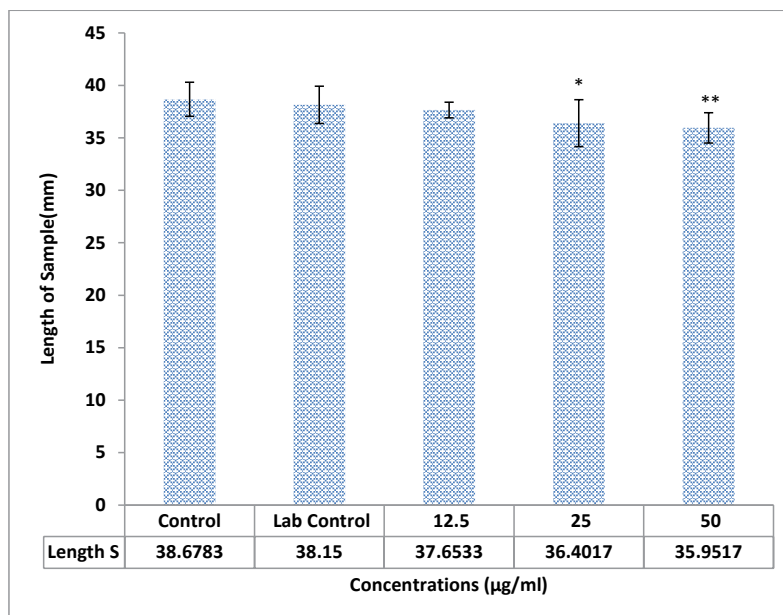
در این بررسی تعداد، طول رگ‌های خونی، قد و همچنین وزن جنین اندازه‌گیری شد. تصاویر مورفولوژی از پرده کوریوآلتونیک در نمونه‌های تیمارشده با غلظت‌های مختلف نانومولسیون (۱۲/۵، ۲۵ و ۵۰ میکروگرم بر میلی‌لیتر) در مقایسه با نمونه‌های کنترل و کنترل آزمایشگاهی کاهش میزان رگ‌ها را نشان می‌دهد (تصویر شماره ۱).

ارزیابی قد و وزن جنین‌ها

در این مطالعه، وزن و قد جنین‌ها با استفاده از ترازو و کولیس ارزیابی شد و سطح معناداری تغییرات نسبت به گروه کنترل با



تصویر ۱. تصویر استریومیکروسکوپ از پرده کوریوآلتونیک جنین جوجه در نمونه‌های تیمار با نانومولسیون انسانس شوید در مقایسه با گروه‌های آزمایش و آزمایش آزمایشگاهی



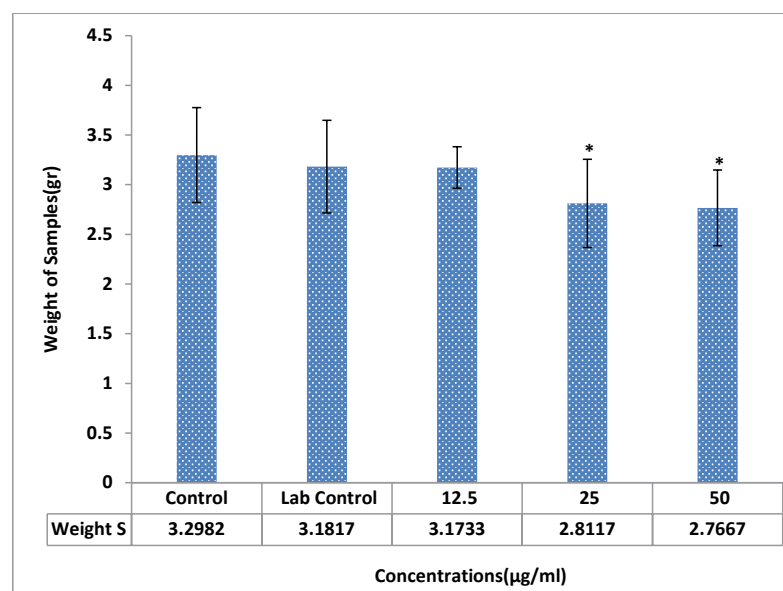
تصویر ۲. مقایسه میانگین قد در نمونه‌های تیمارشده با غلظت‌های مختلف نانومولسیون (۰، ۱۲.۵، ۲۵ و ۵۰ میکروگرم بر میلی‌لیتر) مقایسه با گروه کنترل و کنترل آزمایشگاهی که نشان‌دهنده کاهش قد در سطح معناداری $P < 0.05$ و $P < 0.01$ (در غلظت‌های ۲۵ و ۵۰ میکروگرم بر میلی‌لیتر) است.

می‌شود که اختلاف معناداری بین گروه کنترل و کنترل آزمایشگاهی وجود ندارد، اما بین غلظت‌های ۰، ۱۲.۵، ۲۵ و ۵۰ تیمارشده با شاهد اختلاف معنادار $P < 0.05$ و $P < 0.01$ وجود دارد.

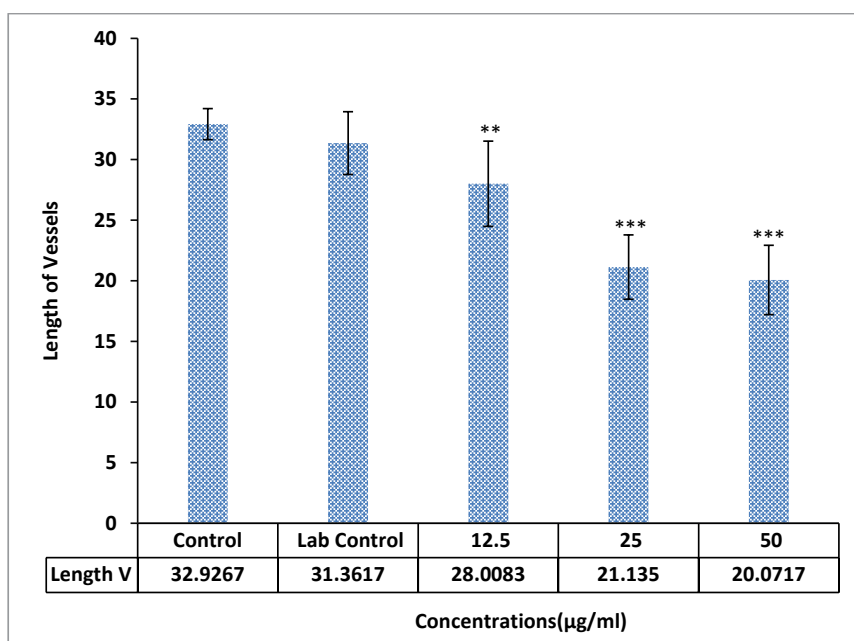
بر میلی‌لیتر نسبت به گروه کنترل اختلاف معنادار $P < 0.01$ و $P < 0.001$ را نشان می‌دهد (تصویر شماره ۴).

بررسی میانگین تعداد عروق خونی

در بررسی تصویر شماره ۵ مربوط به تعداد عروق خونی مشاهده



تصویر ۳. مقایسه میانگین وزن جنبه‌ها در نمونه‌های تیمارشده با غلظت‌های مختلف نانومولسیون (۰، ۱۲.۵، ۲۵ و ۵۰ میکروگرم بر میلی‌لیتر) مقایسه با کنترل و کنترل آزمایشگاهی که نشان‌دهنده کاهش وزن در سطح معناداری $P < 0.05$ (در غلظت‌های ۲۵ و ۵۰ میکروگرم بر میلی‌لیتر) است.



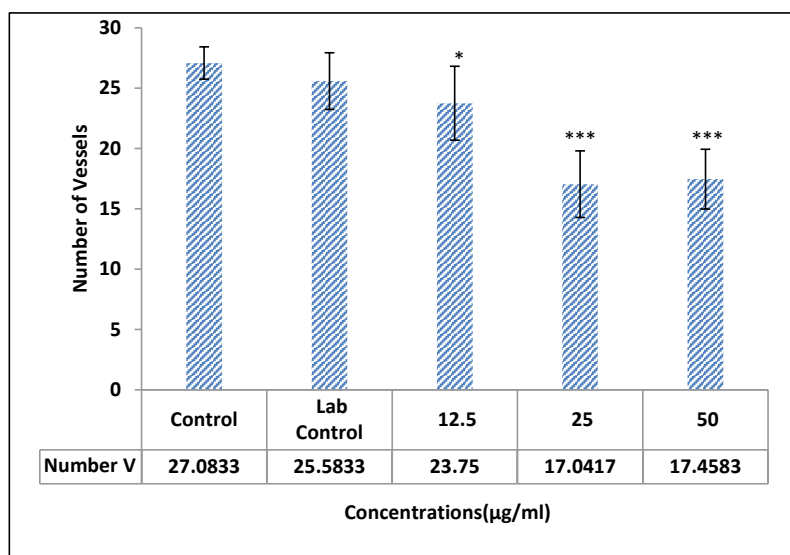
تصویر ۴. کاهش طول عروق خونی در نمونه‌های تیمارشده با غلظت‌های مختلف نانومولسیون (۱۲/۵، ۲۵ و ۵۰ میکروگرم بر میلی‌لیتر) مقایسه با کنترل و کنترل آزمایشگاهی در سطح معناداری $P<0.001$ و $P<0.0001$ نشان می‌دهد.

سیستم‌های ایزوتوپیک ثابتی هستند و کاربردهای زیادی دارند [۱۴].

بحث

اسانس‌ها مخلوطی از ترکیبات روغنی فرار است که به عنوان یک متابولیت ثانویه در گیاهان دارویی ساخته می‌شوند، این ترکیبات آب‌گریز بوده و دارای حلایت بسیار

نامولسیون‌ها، امولسیون‌های بسیار ریزشده یا امولسیون‌های زیرمیکرون هستند که اندازه ذرات آنها پنجاه تا هزار نانومتر است و با توجه به ساختار و ویژگی‌های منحصر به فرد خود از نظر ترمودینامیکی،



تصویر ۵. مقایسه میانگین تعداد انشعبات عروقی در سطح پرده کوریو آلتئویک در نمونه‌های تیمارشده با غلظت‌های مختلف نانومولسیون (۱۲/۵ و ۲۵ و ۵۰ میکروگرم بر میلی‌لیتر) مقایسه با کنترل و کنترل آزمایشگاهی که نشان‌دهنده کاهش تعداد عروق در سطح معناداری $P<0.0001$ و $P<0.005$ است.

نانومولسیون‌ها با توجه به اندازه کوچک خود توانایی عبور از سد خونی را داشته و به راحتی می‌توانند از طریق عروق خونی احاطه کننده تومور، در بافت‌های توموری حضور یافته و اثرات خود را اعمال کنند. علاوه بر این، آن‌ها همچنین می‌توانند برای کپسوله کردن انواع مختلفی از داروها و انتخاب اهداف خاص طراحی شوند [۲۰].

در پژوهش دهلین^۱ و همکاران از نانومولسیون دارای خاصیت آنتی‌آنزیوئیک برای دارورسانی استفاده شد. آن‌ها اثر آنتی‌آنزیوئیک نانومولسیون سنتزشده از روغن دانه کتان را با استفاده از روش CAM بررسی کردند. نتایج نشان داد که این ترکیب با اثر بر مزانشیم رگ‌ها، از رگ‌زایی جلوگیری می‌کند [۲۱].

همچنین این گروه مطالعاتی در سال ۲۰۱۳ در طی تحقیق دیگری اثر نانومولسیون بتولین (ترکیبی که از پوست درخت غان جدا شده بود) را بر رگ‌زایی در سلول‌های کارسینوم پوست در موش و غشای کوریون جنین مرغ بررسی کردند. نتایج این بررسی نیز تأیید کننده اثر ضدرگ‌زایی نانومولسیون بود [۲۲].

در مطالعه یوسفیان و همکاران آنتی‌آنژیوئیک نانومولسیون اساس لیموفاباستفاده از روش CAM موردمطالعه قرار گرفت و نتایج حاصل از آن نشان داد که این ترکیب از رگ‌زایی جلوگیری می‌کند [۲۳].

در مطالعه حاضر اثرات ضدرگ‌زایی نانومولسیون گیاه شوید تأیید شده است. این بررسی مشابه مطالعات یادشده کاهش معنادار ($P < 0.001$) تعداد و طول رگ‌های خونی را در پرده کوریوآلانتوئیک جوچه نشان داد.

نتیجه‌گیری

در پژوهش حاضر، اثرات رگ‌زایی نانومولسیون سنتزشده از انسس گیاه شوید با استفاده از روش‌های CAM بررسی شد. نتایج این بررسی بیانگر توانایی نانومولسیون گیاه شوید در کاهش میزان رگ‌زایی است. از آنجا که کاهش فرایند رگ‌زایی یکی از راه حل‌های مهم جهت مهار رشد تومور به شمار می‌رود، بنابراین می‌توان نانومولسیون سنتزشده از گیاه شوید را به عنوان عاملی برای انجام تحقیقات بیشتر در زمینه درمان سرطان و پیشگیری از متابستاز با انجام آزمایش‌های بیشتر پیشنهاد کرد.

ملاحظات اخلاقی

پیروی از اصول اخلاق پژوهش

تمامی آزمایش‌های این تحقیق باراعیت موازین اخلاقی و طبق تأیید کمیته اخلاق در پژوهش دانشگاه آزاد اسلامی با شناسه مصوبه IAU.MSHD.REC.1398.027 انجام شد.

1. Dehelean

پایینی در آب هستند و به راحتی توسط گرما، نور و هوا اکسیده می‌شوند [۱۵، ۱۶]. روغن‌های گیاهی دارای محتوای فنولی بوده و به همین علت از عوامل مؤثر در درمان برخی بیماری‌ها، از جمله سرطان به شمار می‌روند. تا کنون بسیاری از پژوهش‌ها اثرات این روغن‌ها را در درمان سرطان‌هایی همچون سینه، کبد، روده بزرگ و... بررسی کرده‌اند.

مهم‌ترین مشکل در به کارگیری این ترکیبات حلالیت ضعیف در آب و خاصیت چربی دوستی بالای آن‌ها بوده که استفاده از این ترکیبات را محدود کرده است. به همین دلیل، اخیراً تلاش شده که نانومولسیون‌های سنتزشده از روغن‌های گیاهی به منظور افزایش سازگاری زیستی و اثربخشی بیشتر مورد استفاده قرار گیرد [۱۱].

بنابراین در این مطالعه از نانومولسیون انسس شوید به علت پایداری زیستی بالاتر نسبت به انسس، جهت بررسی اثرات بیولوژیک استفاده کردیم. در بررسی حاضر، از نانومولسیون شوید جهت ارزیابی اثرات رگ‌زایی روی پرده کوریوآلانتوئیک جوچه با روش CAM استفاده شد.

نتایج حاصل از بررسی میزان رگ‌زایی نشان می‌دهد که نانومولسیون گیاه شوید قادر به کاهش تعداد و طول عروق خونی در جنین‌های تیمارشده در مقایسه با گروه تیمارنشده است و ممکن است کاهش رگ‌زایی سبب کاهش رشد جنین (کاهش قد و وزن) شود.

جلوگیری از توسعه سلول‌های سرطانی و مهار آن‌ها می‌تواند با راهکارهای مختلفی همچون القای آپوپتوز یا مهار رگ‌زایی صورت گیرد. مهار رگ‌زایی یکی از مهم‌ترین استراتژی‌ها جهت سرکوب سرطان به شمار می‌رود. ریزمحیط‌زیست تومور از ماتریس خارج سلولی (ECM)، فیبروبلاست‌ها، سلول‌های اپیتلیال، سلول‌های ایمنی، پریسیت‌ها، چربی‌ها، سلول‌های گلیال (موجود در سیستم عصبی)، پروتئین‌ها، سلول‌های عروقی و سلول‌های لنفاوی تشکیل شده است.

آنژیوژن‌ز جزء مهمی از متابستاز تومور است و می‌تواند متابستاز تومور را با فراهم کردن زمینه‌ای برای خروج سلول‌های تومور و ترک محل و ورود به جریان خون تسهیل کند [۱۷]. کلونیزاسیون متابستازی بدون ایجاد عروق جدید نمی‌تواند به صورت موفق ایجاد شود، زیرا تمام سلول‌ها باید در حدود صد تا دویست میکرون از رگ‌های خونی برای دریافت اکسیژن و مواد مغذی فاصله داشته باشند [۱۸].

بنابراین مهار فرایند رگ‌زایی، سبب مهار رشد و توسعه سلول‌های سرطانی می‌شود. در سال‌های اخیر، بسیاری از داروهای ضدرگ‌زایی بررسی شده‌اند، اما بیشتر آن‌ها دارای سمیت بالا بوده و مقاومت ایجاد کرده‌اند و از طرفی توانایی عبور از موانع برای رسیدن به هدف مورد نظر را ندارند [۱۹].



حامی مالی

این تحقیق هیچ کمک مالی خاصی از سازمان‌های تأمین مالی بخش‌های دولتی، تجاری یا غیرانتفاعی دریافت نکرده است.

مشارکت‌نویسنده‌گان

مفهوم‌سازی: مسعود همایونی تبریزی؛ روش‌شناسی: مسعود همایونی تبریزی، توران اردلان؛ اعتبارسنجی: مسعود همایونی تبریزی، توران اردلان؛ تحلیل، تحقیق و بررسی: هاله سادات توکل افشاری؛ ویراستاری و نهایی‌سازی نوشه: مسعود همایونی تبریزی، توران اردلان؛ بصری‌سازی، نظارت، مدیریت پروژه و تأمین مالی: مسعود همایونی تبریزی.

تعارض منافع

طبق نظر نویسنده‌گان این مقاله هیچ گونه تعارض منافعی ندارد.

Reference

- [1] Van RN, Piek JJ, Schaper W, Bode C, Buschmann I. Arteriogenesis: Mechanisms and modulation of collateral artery development. *J Nucl Cardiol.* 2001; 8(6):687-93. [DOI:10.1067/mnc.2001.118924] [PMID]
- [2] Korir A, Mauti N, Moats P, Gurka MJ, Mutuma G, Metheny C, et al. Developing clinical strength-of-evidence approach to define HIV-associated malignancies for cancer registration in Kenya. *PloS one.* 2014; 9(1):e85881. [DOI:10.1371/journal.pone.0085881] [PMID] [PMCID]
- [3] Fiaschi T, Chiarugi P. Oxidative stress, tumor microenvironment, and metabolic reprogramming: A diabolic liaison. *Int J Cell Biol.* 2012; 2012:762825. [DOI:10.1155/2012/762825] [PMID] [PMCID]
- [4] Kouhestanian K, Baharara J, Ramezani T, Mousavi M. [Antiangiogenic effects of eugenol chorioallantoic membrane of chick embryo (Persian)]. *J Shahid Sadoughi Univ Med Sci.* 2015; 23(4):2109-17. https://jsu.ssu.ac.ir/browse.php?a_code=A-10-1624-2&slc_lang=en&sid=1
- [5] Salehi E, Amjadi FS, Khazaei M. [Angiogenesis in health and disease: Role of Vascular Endothelial Growth Factor (VEGF) (Persian)]. *J Isfahan Med Sch.* 2011; 29(132):312-26. <https://www.sid.ir/fa/Journal/ViewPaper.aspx?ID=139629>
- [6] Attaran F, Zafar Bala Nezhad S, Tehrani pour M. [The effect of stachys lavandulifolia alcoholic extract on angiogenesis in chorioallantoic membrane of ross chicken embryo (Persian)]. *J Shahid Sadoughi Univ Med Sci.* 2016; 23(11):1084-93. https://jsu.ssu.ac.ir/browse.php?a_code=A-10-2257-1&slc_lang=en&sid=1
- [7] Ribatti D. The chick embryo chorioallantoic membrane as an in vivo assay to study antiangiogenesis. *Pharmaceuticals.* 2010; 3(3):482-513. [DOI:10.3390/ph3030482] [PMID] [PMCID]
- [8] Gutiérrez JM, González C, Maestro A, Solé IM, Pey CM, Nolla J. Nanoemulsions: New applications and optimization of their preparation. *Curr Opin Colloid Interface Sci.* 2008; 13(4):245-51. [DOI:10.1016/j.cis.2008.01.005]
- [9] Gupta A, Eral HB, Hatton TA, Doyle PS. Nanoemulsions: Formation, properties and applications. *Soft Matter.* 2016; 12(11):2826-41. [DOI:10.1039/C5SM02958A] [PMID]
- [10] Tadros T, Izquierdo P, Esquena J, Solans C. Formation and stability of nano-emulsions. *Adv Colloid Interface Sci.* 2004; 108-9:303-18. [DOI:10.1016/j.cis.2003.10.023] [PMID]
- [11] Nirmala MJ, Nagarajan R. Microemulsions as potent drug delivery systems. *J Nanomed Nanotechnol.* 2016; 7:e139. [DOI:10.4172/2157-7439.1000e139]
- [12] Mohammed GJ, Kadhim MJ, Hussein HM. Characterization of bioactive chemical compounds from *Aspergillus terreus* and evaluation of antibacterial and antifungal activity. *Int J Pharmacogn Phytochem Res.* 2016; 8(6):889-905. https://www.researchgate.net/profile/Mohanad-Jawad/publication/304945402_Characterization_of_bioactive_chemical_compounds_from_aspergillus_terreus_and_evaluation_of_antibacterial_and_antifungal_activity/links/57e2482908ae9e25307eb3ba/Characterization-of-bioactive-chemical-compounds-from-aspergillus-terreus-and-evaluation-of-antibacterial-and-antifungal-activity.pdf
- [13] Tavakkol Afshari HS, Homayouni Tabrizi M, Ardalan T. [Evaluation of Antioxidant and Anticancer Effects of Nanoemulsions Prepared Using Dill Essential Oil (Persian)]. *J Arak Univ of Med Sci.* 2019; 22(4):40-51. [DOI:10.32598/JAMS.22.4.40]
- [14] Jaiswal M, Dudhe R, Sharma PK. Nanoemulsion: An advanced mode of drug delivery system. *3 Biotech.* 2015; 5(2):123-7. [DOI:10.1007/s13205-014-0214-0] [PMID] [PMCID]
- [15] Geng S, Cui Z, Huang X, Chen Y, Xu D, Xiong P. Variations in essential oil yield and composition during *Cinnamomum cassia* bark growth. *Ind Crops Prod.* 2011; 33(1):248-52. [DOI:10.1016/j.indcrop.2010.10.018]
- [16] Sabzghabaei AM, Nili F, Ghannadi A, Eizadi-Mood N, Anvari M. Role of menthol in treatment of candidal napkin dermatitis. *World J Pediatr.* 2011; 7(2):167-70. [DOI:10.1007/s12519-011-0253-0] [PMID]
- [17] Mäkelä S. [Use of mesoporous torture particles as a drug carrier in the development of therapies for visceral leishmaniasis (Finnish)] [MSc Thesis]. Kuopio, Finland: University of Eastern Finland. 2015. https://erepo.uef.fi/bitstream/handle/123456789/16201/urn_nbn_fi_uef-20151124.pdf?sequence=1
- [18] Paduch R. The role of lymphangiogenesis and angiogenesis in tumor metastasis. *Cell Oncol.* 2016; 39(5):397-410. [DOI:10.1007/s13402-016-0281-9] [PMID] [PMCID]
- [19] Tan W, Wang H, Chen Y, Zhang X, Zhu H, Yang C, et al. Molecular aptamers for drug delivery. *Trends Biotechnol.* 2011; 29(12):634-40. [DOI:10.1016/j.tibtech.2011.06.009] [PMID] [PMCID]
- [20] Sandip T, Yi-Meng T, Mansoor A. Preparation and in vitro characterization of multifunctional nanoemulsions for simultaneous MR imaging and targeted drug delivery. *J Biomed Nanotechnol.* 2006; 2(3-4):217-24. [DOI:10.1166/jbn.2006.038]
- [21] Dehelean CA, Feflea S, Ganta S, Amiji M. Anti-angiogenic effects of betulinic acid administered in nanoemulsion formulation using chorioallantoic membrane assay. *J Biomed Nanotechnol.* 2011; 7(2):317-24. [DOI:10.1166/jbn.2011.1297] [PMID]
- [22] Dehelean CA, Feflea S, Gheorgheosu D, Ganta S, Cimpean AM, Muntean D, et al. Anti-angiogenic and anti-cancer evaluation of betulin nanoemulsion in chicken chorioallantoic membrane and skin carcinoma in Balb/c mice. *J Biomed Nanotechnol.* 2013; 9(4):577-89. [DOI:10.1166/jbn.2013.1563] [PMID]
- [23] Yousefian Rad E, Homayouni Tabrizi M, Ardalan P, Seyedi SM, Yadaman S, Zamani-Esmati P, et al. Citrus Lemon Essential Oil Nanoemulsion (CLEO-NE), a safe cell-dependent apoptosis inducer in human A549 lung cancer cells with anti-angiogenic activity. *J Microencapsul.* 2020; 37(5):394-402. [DOI:10.1080/02652048.2020.1767223] [PMID]

This Page Intentionally Left Blank